

비정상 랜덤 가진력을 받는 항공기 착륙장치의 동특성 해석

⁰황재혁*, 유병성**, 박명호***

Dynamic Analysis of Aircraft Landing Gear under Nonstationary Random Excitations

⁰Jai-Hyuk Hwang*, Byung-Sung Yoo** and Myung-Ho Park***

ABSTRACT

The motion of an aircraft landing gear over rough runway at variable speed is nonstationary. In this paper a method for the computation of nonstationary response variance is presented which uses a state space form for the combination of landing gear and runway excitation. The dynamic characteristics of the landing gear under nonstationary random excitations has also been analyzed using the proposed method. The formulation is for linear systems of arbitrary order and allows any deterministic velocity history. It has been found by a series of simulation that correlation parameter, damping coefficients of landing gear and tire, and velocity profiles play a prominent role on the dynamic characteristics.

1. 서 론

활주로에서 이착륙하는 항공기는 활주로 노면의 불규칙성에 의해 랜덤 가진력을 받게 된다^[1-4]. 그럼에도 불구하고 랜덤진동 해석 기법이 수학적으로 매우 복잡하기 때문에 지금까지는 주로 확정적인(Deterministic) 방법에 의해 착륙장치의 동특성이 해석되었고, 착륙시 충격이나 활주시 노면 진동을 흡수하도록 착륙장치가 설계되었다. 그러나 착륙장치의 경우, 좀더 실제와 가까운 거동을 파악하기 위해서는 반드시 확률적인 방법(Probabilistic)에 의존하여 동특성을 해석하고 설계하는 것이 필요하다^[1-4]. 랜덤 가진에 의한 항공기의 진동은 항공기 구조의 설계(특히 착륙장치의 설계), 탑승객의 안락감, 화물 혹은 장착 장비의 보호 측면에서 매우 중요하게 고려되고 있다. 또한 이런 방법을 통한 설계는 확정적인 방법에서 도입하는 안전계수(불확실성을 보상하는 방법)보다 더욱 체계적이고

효율적이라고 볼 수 있다.

먼저 노면에 의해 가진 되는 착륙장치의 동특성을 해석하기 위해서는 착륙장치와 활주로 노면의 통계학적 모델을 얻는 것이 필요하다. 활주로의 불규칙한 노면은 항공기의 운동 및 항공기와 활주로의 접촉 방법에 따라 접촉점에서 시변 랜덤 가진으로 변환되어 착륙장치에 작용된다. 활주로 노면의 랜덤성은 보통 균일한(homogeneous) 랜덤 프로세스로 간주 될 수 있다. 이러한 가정하에서 만약 항공기의 속도가 일정하다면, 정상 랜덤 프로세스(stationary random process)가 되고 항공기의 속도가 가변일 때는 비정상 랜덤 프로세스(nonstationary random process)가 된다^[5-7]. 항공기 착륙장치는 강한 충격을 받는 착륙초기를 제외하고는 비교적 선형모델로 이것의 동역학적 거동을 잘 기술할 수 있다. 따라서, 본 연구에서는 선형시스템으로 모델된 항공기 가 균일한 불규칙 노면을 가변의 속도를 가지고 움직일 때(즉, 입력이 비정상 랜덤 프로세스일 때) 착륙장치의 동특성을 해석하고자 한다.

입력이 랜덤 프로세스일 때 응답의 상호분산(covariance)을 구하는 방법에는 임펄스 응답 함수

* 한국항공대학교, 항공기계공학과

** 한국항공대학교 대학원

*** 대천전문대학, 기계자동차학부

나 주파수 응답 함수를 이용하는 방법이 있다^[5-8]. 그러나 비정상 랜덤 프로세스인 경우 계산상에 있어서 매우 복잡하기 때문에 본 연구에서는 상태공간을 이용한 비정상 랜덤 프로세스 해석 방법을 사용한다. 상태공간 접근방법은 위에서 언급한 적분방법보다 매우 간단하며 속도 변화에 따른 비정상 랜덤 응답을 해석하는데 효율적이다. 이 상태공간 기법에서는 활주로 노면을 공간변수인 s 를 이용하여 정상 랜덤 프로세스로 표현한다. 이러한 정상 랜덤 프로세스는 속도를 사용하여 시간함수 t 로 표현하면 비정상 랜덤 프로세스가 된다. 그리고 실제로 가까운 활주로 노면을 모델링 하기 위해 일차 형상필터(shaping filter)를 사용하여 유색잡음을 유도하였다. 이 형상필터로 들어가는 입력은 영 평균(zero mean)을 갖는 백색잡음(white noise)으로 가정하였다. 활주로 노면의 모델과 착륙장치의 운동방정식은 상태공간 방정식으로 표현이 가능하다. 이것을 이용해 상호 분산 전파 방정식을 만들고 상황에 따른 초기치를 설정하여 수치적으로 적분하므로써 응답의 상호 분산을 구할 수 있다. 착륙장치의 동특성을 해석하기 위해 파라메타 값들을 변화시켜 가면서 상호 분산값을 비교해 보았다. 본 연구에서 사용한 상태공간 기법은 자유도가 유한 크기인 어떠한 동역학계(지면의 의해 가진되는 경우)에도 적용이 가능하다.

2. 착륙장치 및 활주로 표면의 모델링

2.1 활주로 표면의 통계학적 모델링

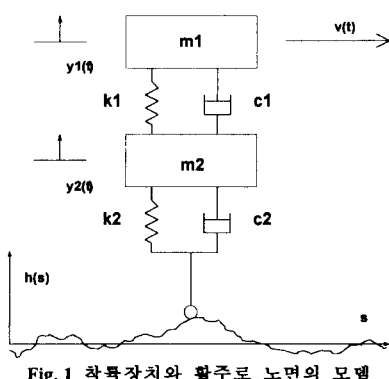


Fig. 1 착륙장치와 활주로 노면의 모델

활주로 노면의 랜덤성은 보통 균일한 랜덤 프로세스로 간주할 수 있다. 이러한 가정하에서 항공기의 속도가 일정하다면 노면 가진력은 정상 랜덤 프로세스가 되고, 항공기의 속도가 가변일 때는

노면 가진력은 비정상 프로세스가 된다. 활주로 노면의 가장 일반적이고 보편적으로 활용되는 통계학적 모델은 다음식과 같이 표현된다[4].

$$R_{hh}(\xi) = \sigma^2 e^{-\alpha|\xi|}, (\xi = s_1 - s_2) \quad (1)$$

식(1)과 같은 실제적인 활주로 노면의 모델은 백색 잡음을 일차 형상 필터를 통과시켜 얻어질 수 있다.

$$\frac{dh}{ds} + \alpha h = k_w w(s) \quad (2)$$

여기서, $w(s) = \text{zero mean}$ 을 갖는 백색잡음,

$$E[w(s_1)w^T(s_2)] = Q\delta(s_1 - s_2)$$

$$k_w = \sigma\sqrt{2\alpha} \text{ (백색잡음의 크기)}$$

$$\sigma = h \text{의 표준편차}$$

$$\alpha = \text{상관관계 파라메타 (correlation parameter)}$$

$$s = \text{공간 변수 (space variable)}$$

속도변화에 따른 비정상 랜덤 프로세스를 공간 변수를 사용하여 정상 랜덤 프로세스로 표현할 수 있다. 공간 변수 s 는 t 의 함수이므로 형상 필터를 표현한 식(2)를 t 의 함수로 표현하기 위해 고리의 법칙(chain rule)을 사용하면 다음과 같다.

$$\frac{d}{ds} = \frac{d}{dt} \cdot \frac{dt}{ds} = \frac{1}{\dot{s}} \frac{d}{dt}$$

$$\dot{h} = -\dot{s}\alpha h + \dot{s}k_w w(s(t)) \quad (3)$$

2.2 착륙장치의 운동방정식

항공기 착륙장치는 Fig. 1에 나타낸 바와 같이 활주로 노면과의 접촉방법이 점접촉인 2 자유도를 갖는 선형시스템으로 모델링 할 수 있다. 이 착륙장치 모델에서 노면에서의 가진력을 제외한 모든 외력을 무시할 때 다음과 같은 운동방정식을 얻는다.

$$M\ddot{y} + C\dot{y} + Ky = C_h\dot{h} + K_hh \quad (4)$$

여기서, $M = \begin{bmatrix} m_1 & 0 \\ 0 & m_2 \end{bmatrix}$, $C = \begin{bmatrix} c_1 & -c_1 \\ -c_1 & c_1 + c_2 \end{bmatrix}$,

$$K = \begin{bmatrix} k_1 & -k_1 \\ -k_1 & k_1 + k_2 \end{bmatrix}$$

$$C_h = \begin{bmatrix} 0 \\ c_2 \end{bmatrix}, \quad K_h = \begin{bmatrix} 0 \\ k_2 \end{bmatrix}, \quad y = \begin{bmatrix} y_1 \\ y_2 \end{bmatrix} \quad \text{여기서,} \quad x = \begin{bmatrix} y/\sigma & \dot{y}/\sigma & h/\sigma \end{bmatrix}^T$$

3. 상태 공간을 이용한 착륙장치의 동특성 해석

본 절에서는 항공기 착륙장치의 응답의 상호분산을 구하는 기법을 제시하고자 한다. 다음식과 같은 일반적인 선형시스템을 고려한다.

$$\dot{x} = Ax + Bw; \quad x(t_0) \quad (5)$$

$$E[w(t_1)w^T(t_2)] = Q\delta(t_1 - t_2)$$

식(5)의 상호분산 행렬 $P(t) = E[x(t)x^T(t)]$ 은 다음과 같은 상호 분산 전파식을 간단히 적분(필요에 따라 수치적분)함으로써 풀어질 수 있다.

$$\dot{P} = AP + PA^T + BQB^T \quad (6)$$

$P(t)$ 는 대칭이므로 $\frac{n(n+1)}{2}$ 개의 방정식만 풀이하면 된다. 그리고 일반적인 상호분산 행렬 $P(t, t_1)$ 은 다음과 같이 구할 수 있다.

$$E[x(t)x^T(t_1)] = P(t)\Phi^T(t_1, t) \quad t_1 > t \quad (7)$$

$\Phi^T(t_1, t)$: state transition matrix

이제 본 연구에서 고려하는 착륙장치와 활주로 노면을 상태공간 방정식으로 나타내면, (편리를 위해 모든 상태 변수들을 σ 로 나눔) 다음과 같은 형태가 된다. 여기서 $\dot{s}(t) \geq 0$ 이 되도록 $s(t)$ 의 함수 형태를 제한한다.

$$\frac{d}{dt} \begin{bmatrix} y/\sigma \\ \dot{y}/\sigma \\ h/\sigma \end{bmatrix} = \begin{bmatrix} 0 & I & 0 \\ -M^{-1}K - M^{-1}C & (-M^{-1}C_h\dot{s}\alpha + M^{-1}K_h) & \begin{bmatrix} y/\sigma \\ \dot{y}/\sigma \\ h/\sigma \end{bmatrix} \\ 0 & 0 & -\dot{s}\alpha \end{bmatrix} \begin{bmatrix} y/\sigma \\ \dot{y}/\sigma \\ h/\sigma \end{bmatrix} \quad (8)$$

$$+ \dot{s} \begin{bmatrix} 0 \\ M^{-1}C_h\sqrt{2\alpha} \\ \sqrt{2\alpha} \end{bmatrix} w[s(t)]$$

이 식은 다음과 같은 형태로 간단히 표현할 수 있다.

$$\dot{x}(t) = Ax(t) + \dot{s}(t)Bw[s(t)] \quad (9)$$

$$A = \begin{bmatrix} 0 & I & 0 \\ -M^{-1}K - M^{-1}C & (-M^{-1}C_h\dot{s}\alpha + M^{-1}K_h) & \begin{bmatrix} y/\sigma \\ \dot{y}/\sigma \\ h/\sigma \end{bmatrix} \\ 0 & 0 & -\dot{s}\alpha \end{bmatrix}$$

$$B = \begin{bmatrix} 0 \\ M^{-1}C_h\sqrt{2\alpha} \\ \sqrt{2\alpha} \end{bmatrix}$$

$$E[w(s_1)w^T(s_2)] = Q\delta(s_1 - s_2) \quad (10)$$

응답의 상호분산 전파식을 유도하기 위해 $\dot{P} = E[\dot{x}\dot{x}^T + x\dot{x}^T]$ 을 고려하고, 이 식에 식(9)를 대입하면,

$$\dot{P} = AP + PA^T + \dot{s}BE\{w[s(t)]x^T(t)\} + \dot{s}E\{x(t)w^T[s(t)]\}B^T \quad (11)$$

식(11)을 정리하기 위해 다음과 같은 식(9)의 해를 이용한다.

$$x(t) = \Phi(t, t_0)x(t_0) + \int_{t_0}^t \dot{s}(t_1)\Phi(t, t_1)Bw[s(t_1)]dt_1 \quad (12)$$

식(11)의 오른쪽 마지막 항의 기대 값(expectation value)은 식(12)을 이용해 얻을 수 있다.

$$E\{x(t)w^T[s(t)]\} = \Phi(t, t_0)E\{x(t_0)w^T[s(t)]\} + \int_{t_0}^t \dot{s}(t_1)\Phi(t, t_1)BE\{w[s(t_1)]w^T[s(t)]\}dt_1 \quad (13)$$

식(13)에서 오른쪽 첫 번째 항은 초기상태 값 $x(t_0)$ 과 가진이 상관관계가 없기 때문에 영이 된다. 식(13)의 두 번째 항을 풀기 위해 Zadeh 와 Desoer 의 이론을 이용하면^[9],

$$E\{w[s(t_1)]w^T[s(t)]\} = \frac{Q\delta(t_1 - t)}{|\dot{s}(t)|} \quad (14)$$

$\dot{s}(t)$ 는 영 보다 작지 않기 때문에 식(14)을 식(13)에 대입하면,

$$E\{x(t)w^T[s(t)]\} = \frac{B}{2}Q \quad (15)$$

가 된다. 식(15)을 식(11)에 대입하면 식(16)과 같은 상호분산 전파식을 얻을 수 있다.

$$\dot{P} = AP + PA^T + \dot{s}BQB^T \quad (16)$$

식 (16)을 각 요소의 식으로 전개하면 다음과 같다.

$$\begin{aligned} \dot{P}_{11} &= 2P_{13} \\ \dot{P}_{12} &= P_{14} + P_{23} \\ \dot{P}_{13} &= -\frac{k_1}{m_1}P_{11} + \frac{k_1}{m_1}P_{12} - \frac{c_1}{m_1}P_{13} + \frac{c_1}{m_1}P_{14} - P_{33} \\ \dot{P}_{14} &= -\frac{k_1}{m_2}P_{11} - \frac{k_1+k_2}{m_2}P_{12} + \frac{c_1}{m_2}P_{13} - \frac{c_1+c_2}{m_2}P_{14} \\ &\quad + \left(\frac{k_2}{m_2} - \dot{s}\alpha \frac{c_2}{m_2}\right)P_{15} + P_{34} \\ \dot{P}_{15} &= P_{35} - \dot{s}\alpha P_{15} \\ \dot{P}_{22} &= 2P_{24} \\ \dot{P}_{23} &= -\frac{k_1}{m_1}P_{12} + \frac{k_1}{m_1}P_{22} - \frac{c_1}{m_1}P_{23} + \frac{c_1}{m_1}P_{24} + P_{34} \\ \dot{P}_{24} &= -\frac{k_1}{m_2}P_{12} - \frac{k_1+k_2}{m_2}P_{22} + \frac{c_1}{m_2}P_{23} - \frac{c_1+c_2}{m_2}P_{24} \\ &\quad + \left(\frac{k_2}{m_2} - \dot{s}\alpha \frac{c_2}{m_2}\right)P_{25} + P_{44} \\ \dot{P}_{25} &= P_{45} - \dot{s}\alpha P_{25} \\ \dot{P}_{33} &= 2\left(-\frac{k_1}{m_1}P_{13} + \frac{k_1}{m_1}P_{23} - \frac{c_1}{m_1}P_{33} + \frac{c_1}{m_1}P_{34}\right) \\ \dot{P}_{34} &= -\frac{k_1}{m_1}P_{14} + \frac{k_1}{m_1}P_{24} - \frac{c_1}{m_1}P_{34} + \frac{c_1}{m_1}P_{44} - \frac{k_1}{m_2}P_{13} \\ &\quad - \frac{k_1+k_2}{m_2}P_{23} + \frac{c_1}{m_2}P_{33} - \frac{c_1+c_2}{m_2}P_{34} + \left(\frac{k_2}{m_2} - \dot{s}\alpha \frac{c_2}{m_2}\right)P_{35} \\ \dot{P}_{35} &= -\frac{k_1}{m_1}P_{15} + \frac{k_1}{m_1}P_{25} - \frac{c_1}{m_1}P_{35} + \frac{c_1}{m_1}P_{45} - \dot{s}\alpha P_{35} \\ \dot{P}_{44} &= -2\frac{k_1}{m_2}P_{14} - 2\frac{k_1+k_2}{m_2}P_{24} + 2\frac{c_1}{m_2}P_{34} - 2\frac{c_1+c_2}{m_2}P_{44} \\ &\quad + 2\left(\frac{k_2}{m_2} - \dot{s}\alpha \frac{c_2}{m_2}\right)P_{45} + 2\frac{k_2^2}{m_2^2}\alpha\dot{s} \\ \dot{P}_{45} &= -\frac{k_1}{m_2}P_{15} - \frac{k_1+k_2}{m_2}P_{25} + \frac{c_1}{m_2}P_{35} - \frac{c_1+c_2}{m_2}P_{45} \\ &\quad + \left(\frac{k_2}{m_2} - \dot{s}\alpha \frac{c_2}{m_2}\right)P_{55} - \dot{s}\alpha P_{45} + 2\frac{c_2}{m_2}\alpha\dot{s} \end{aligned}$$

$$\dot{P}_{55} = 2\alpha\dot{s}(1 - P_{55})$$

위의 미분방정식은 속도변수 $\dot{s}(t)$ 가 시간에 따라 변하므로 수치적으로 적분을 수행하여야 한다. 수치적분을 수행하기 위해서는 초기조건 $P_{ij}(t_0)$ 가 필요하다. 여기서는 두 가지 경우에 대해 초기조건을 제시하고자 한다. a) 항공기가 정지 상태에서 출발하는 경우와 b) 항공기가 등속도로 진행하다가 랜덤노면을 만난 경우이다. 첫 번째 경우는 랜덤노면이 균일하다는 가정에 의해 모든 t 에 대하여 노면높이의 분산 $E[h^2]$ 은 일정하다. 즉, $E[h^2] = \sigma^2$ 이다. 따라서 $P_{55}(t=0) = 1$ 이다. $t=0$ 일 때 어떤 운동도 일어나지 않았으므로 $y_1(0) = y_2(0) = h(0)$ 이다.

$$E[y_1^2] = E[y_2^2] = \sigma^2 \text{ or } P_{11}(0) = P_{22}(0) = 1$$

$$\begin{aligned} E[y_1y_2] &= E[y_1h] = E[y_2h] = \sigma^2 \\ \text{or } P_{12}(0) &= P_{15}(0) = P_{25}(0) = 1 \end{aligned}$$

$t=0$ 일 때 스프링 상하질량의 수직 속도 \dot{y}_1, \dot{y}_2 는 0 이다.

$$\begin{aligned} E[y_1\dot{y}_1] &= E[y_1\dot{y}_2] = E[y_2\dot{y}_1] = E[y_2\dot{y}_2] = 0 \\ E[\dot{y}_1^2] &= E[\dot{y}_2^2] = E[\dot{y}_1\dot{y}_2] = E[\dot{y}_1h] = E[\dot{y}_2h] = 0 \end{aligned}$$

따라서,

$$\begin{aligned} P_{13}(0) &= P_{14}(0) = P_{23}(0) = P_{24}(0) = P_{33}(0) = 0 \\ P_{44}(0) &= P_{34}(0) = P_{35}(0) = P_{45}(0) = 0 \end{aligned}$$

두 번째로 항공기가 등속도로 평탄한 노면을 진행하다가 랜던지면을 만난 경우에는 항공기가 등속도 운동을 함에도 불구하고 비정상 랜덤입력이 들어오게 된다. 항공기의 수직 속도와 변위는 $t=0^-$ 에서 영이 되고 $t=0^+$ 에서도 시스템이 랜덤입력에 대해 응답하기에 충분한 시간이 지나지 않았기 때문에 속도와 변위는 영이 된다. 따라서 $P_{ij}(0)$ ($i, j = 1, \dots, 5, i = j \neq 5$)는 0이고 $P_{55}(0)$ 는 1 이 된다.

4. 결과 및 토의

본 절에서는 지금까지 얻어진 결과를 설명하기 위해 착륙장치의 실제수치를 사용하여 수치해석을

수행하였다. 본 연구에서 사용된 착륙장치의 파라메타 값은 Table 1에 나타내었다. 수치해석을 수행 할 때 Table 1의 값을 기본으로 사용하였으며, 또한 그 파라메타 값을 변화시키면서 착륙장치의 동특성을 해석하였다. 동특성 해석 시 사용한 초기조건은 항공기가 정지상태에서 출발한 경우이다.

Table 1. Parameters of an aircraft landing gear

Parameter Name	Numerical Value(SI)
Sprung Mass	1189.2(kg)
unsprung Mass	19.1(kg)
stiffness Coefficient of Absorber	57831.6(N/m)
Stiffness Coefficient of Tire	900000(N/m)
Damping Coefficient of Absorber	6455.9(N·s/m)
Damping Coefficient of Tire	0(N·s/m)

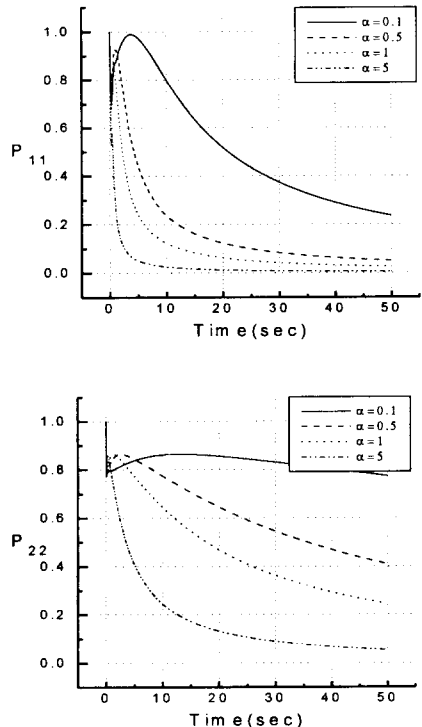


Fig. 2 상관관계 파라메타 변화에 대한 응답의 변화

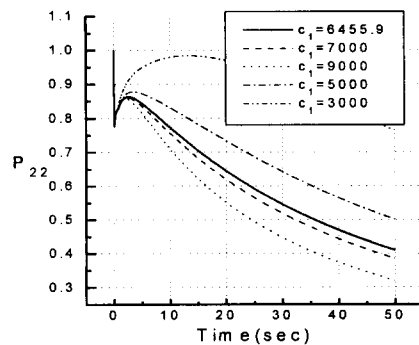
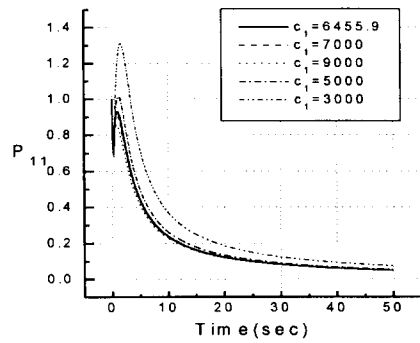


Fig. 3 감쇠 계수 c_1 의 변화에 대한 응답의 변화

Table 1. Parameters of an aircraft landing gear

Parameter Name	Numerical Value(SI)
Sprung Mass	1189.2(kg)
unsprung Mass	19.1(kg)
stiffness Coefficient of Absorber	57831.6(N/m)
Stiffness Coefficient of Tire	900000(N/m)
Damping Coefficient of Absorber	6455.9(N·s/m)
Damping Coefficient of Tire	0(N·s/m)

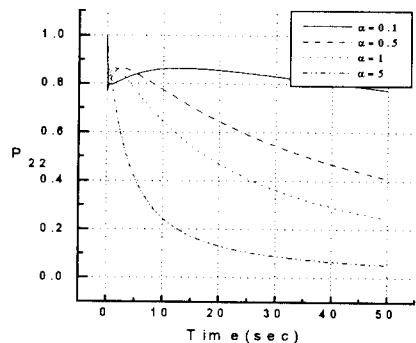
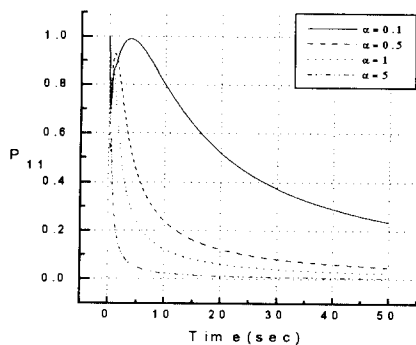


Fig. 2 상관관계 파라메타 변화에 대한 응답의 변화

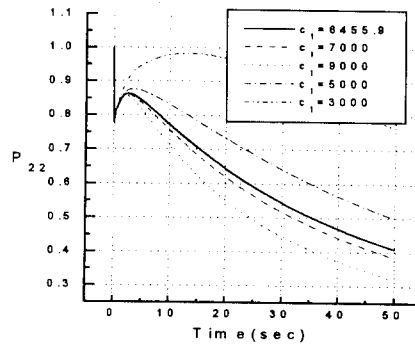


Fig. 3 감쇠 계수 C_1 의 변화에 대한 응답의 변화

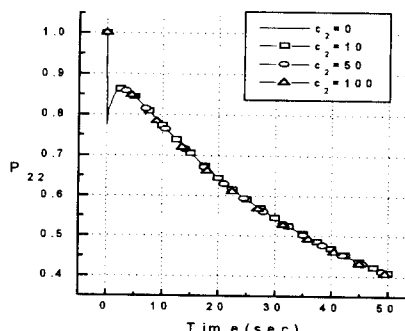
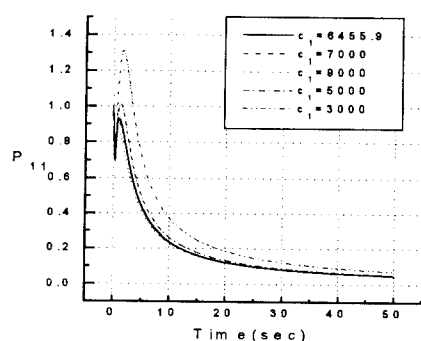
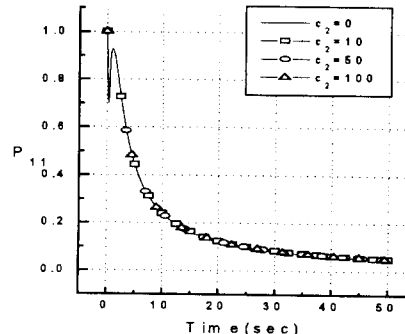


Fig. 4 감쇠 계수 C_2 의 변화에 대한 응답의 변화

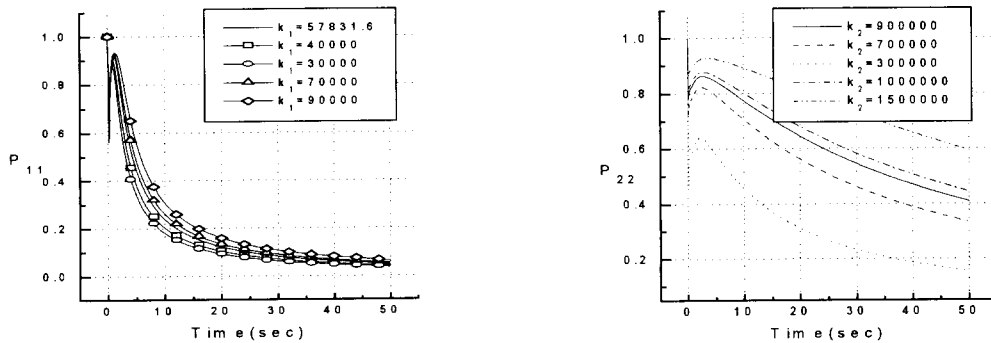


Fig. 6 강성 계수 k_2 의 변화에 대한 응답의 변화

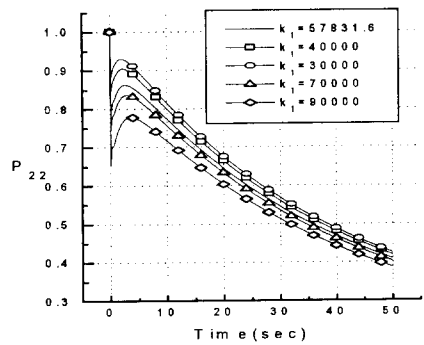


Fig. 5 강성 계수 k_1 의 변화에 대한 응답의 변화

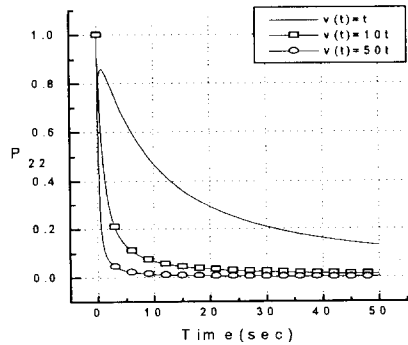
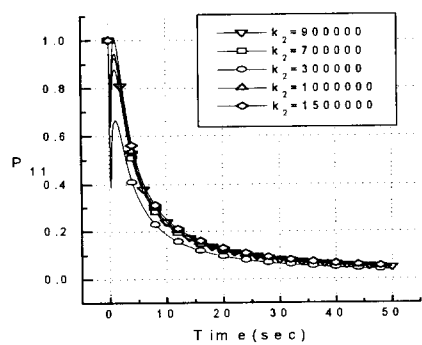
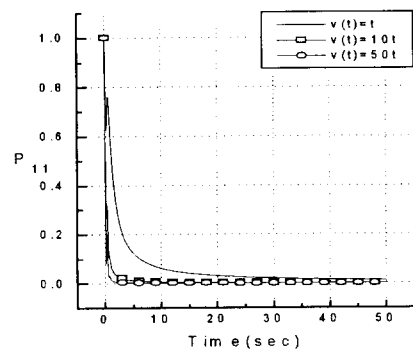


Fig. 7 등가속도 변화에 대한 응답의 변화

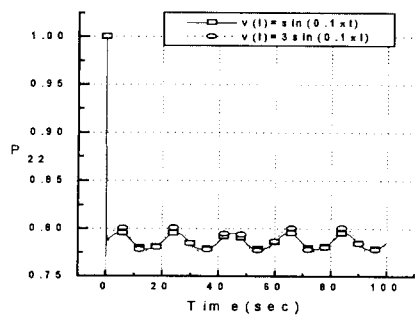
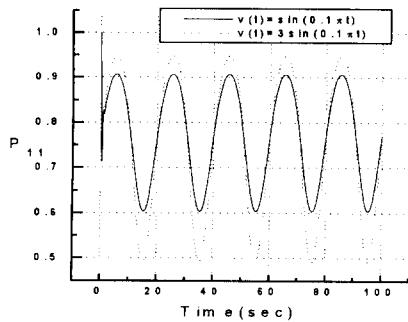


Fig. 8 정현파 형태의 속도에서 진폭 크기 변화에 대한 응답의 변화

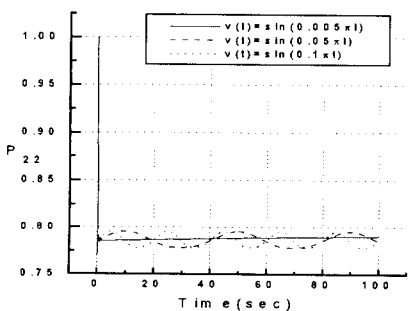
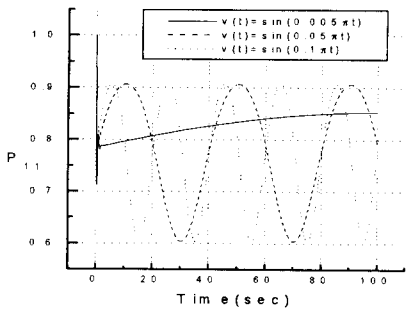


Fig. 9 정현파 형태의 속도에서 주기 변화에 대한 응답의 변화

노면의 거칠기를 나타내는 계수인 상관관계 파라메타 α 를 변화시키면서 동특성을 해석한 결과를 Fig.2에 나타내었다. α 가 클 수록 노면의 웨이브는 백색잡음에 가까워짐을 뜻한다. Fig.2에서 α 가 증가할 수록 P_{11}, P_{22} 가 빠르게 0으로 수렴하는 것을 확인할 수 있다. 본 연구에서 사용한 속도는 특별한 언급이 있는 경우를 제외하고는 일정한 가속도로 증가되고 있으므로, 시간의 증가는 노면 불규칙에 의한 가진력의 주파수가 증가한다는 뜻을 내포하고 있다. 따라서 차륜장치는 저주파 통과 필터와 같은 역할을 하므로 시간이 경과후 응답은 점점 감소하게 되고 상호분산도 감소하게 됨을 알 수 있다.

Fig.3과 Fig.4에서는 각각 감쇠계수 c_1 및 c_2 의 변화에 따른 상호분산의 변화를 나타내었다. c_2 의 변화에 대한 응답의 상호분산은 거의 변화가 없음을 확인하였다. 그러나 c_1 이 증가할 때 응답의 상호분산은 전체적으로 감소하고 있음을 알 수 있다. 이와 같은 현상에서 차륜장치의 응답의 상호분산이 c_2 에는 매우 둔감하며, 차륜장치의 완충기의 감쇠(c_1)가 증가함에 따라 운동이 감소하는 일반적인 경향과 일치하고 있다.

강성계수 k_1, k_2 의 변화에 대한 상호분산의 변화를 Fig.5 및 6에서 나타내었다. Fig에서 k_1 이 증가함에 따라 P_{11} 은 증가하고 P_{22} 는 감소하는 현상을 볼 수 있다. Fig.5에서 나타내지 않았지만 만약, k_1 이 아주 작다면($k_1 \leq 10000$) P_{11}, P_{22} 모두 부드럽게 감소하게 된다. 반대로, k_1 이 크게 증가하면 초기기간의 최대값이 초기치를 넘지 않는 범위에서 어느정도 증가하다가 일정한 값을 유지한다. Fig.6에서는 k_2 가 증가함에 따라 P_{11}, P_{22} 모두가 증가하는 것을 확인할 수 있다.

Fig.7에서는 가속도의 변화에 따른 응답의 상호분산의 변화를 나타내었다. 앞에서 언급한 바와 같이 속도의 증가는 가진력의 주파수 증가를 의미한다. 따라서 큰 가속도에서 응답의 상호분산이 빠르게 0으로 수렴하는 것을 알 수 있다. 그럼에서 나타내지는 않았지만 가속도가 아주 작은 경우 상호분산이 초기치를 넘어 어느정도 계속 증가하다가 0으로 수렴하는 현상을 나타내고 있다.

속도가 정현파 $v(t) = A \sin(b\pi t)$ 의 형태로 변화하는 경우 상호분산 역시 정현파의 형태로 나타난다. Fig.8 및 9에서는 정현파의 진폭(A) 및 주파수(b)를 변화시켰을 때 분산의 변화를 나타내었

다. 정현파의 진폭(A)을 증가시키면 분산 P_{11} 은 증가하지만 P_{22} 는 큰 변화가 없다. 이는 속도항의 주파수가 적은 값을 갖고 있기 때문에 발생하는 것으로 생각된다.

5. 결 론

본 연구에서는 비정상 랜덤가진을 받는 항공기 착륙장치의 동특성을 해석하였다. 이를 위해 활주로 노면을 통계학적으로 모델링하고, 형상필터를 이용하여 백색잡음을 유색잡음으로 변환시켜 사용하였다. 착륙장치의 운동방정식과 활주로 노면의 모델을 상태공간에서 기술한 후, 상태공간 접근방법을 이용하여 착륙장치의 상호분산 전파식을 유도하였다. 착륙장치의 실제적인 수치 값을 사용하여 착륙장치의 분산 값을 수치적으로 계산하였으며, 착륙장치의 파라메타의 값을 변화시키면서 응답의 상호분산의 변화를 고찰하였다. 본 연구에서 제안한 상태공간 기법은 임펄스 응답함수나 주파수 응답함수를 이용하는 기존의 적분방법에 비해 계산이 용이하며 속도의 변화에 따른 비정상 랜덤응답을 해석하는데 매우 편리하다. 이 기법은 노면의 랜덤성이 균일하고 착륙장치의 모델의 차수가 유한하기만 하면 항상 적용가능하다. 착륙장치의 파라메타 값을 변화시키면서 응답의 상호분산을 계산한 결과 노면의 상관계수 α , 완충기의 감쇠계수 c_1 과 강성계수 k_1, k_2 가 동특성에 많은 영향을 미치는 변수로 확인되었다. 또한 속도의 변화가 착륙장치의 비정상 응답을 만드는 주 요인으로 속도의 변화 형태가 응답에 큰 영향을 미치고 있다.

후 기

본 연구는 1996년도 한국과학재단 특정기초연구(과제번호 96-0200-07-01-3)의 지원을 받아 수행되었으며 이에 관계자께 감사드린다.

참고 문헌

- Yadav, D., and Nigam, N. C., "Ground Induced Non-Stationary Response of Vehicles," *Journal of Sound and Vibration*, Vol. 61, No. 1, 1978, pp. 117-126.
- Soong, T. T., and Mircea Grigoriu, *Random Vibration of Mechanical and Structural Systems*, Prentice-Hall, 1993.
- Sobczyk, K., Macvean, D. B., and Robson, J. D., "Response to Profile Imposed Excitation With

Randomly Varying Traversal Velocity," *Journal of Sound and Vibration*, Vol. 52, No. 1, 1977, pp. 37-49.

- Virchis, V. J., and Robson, J. D., "Response of an Accelerating Vehicle to Random Road Undulation," *Journal of Sound and Vibration*, Vol. 61, No. 1, 1978, pp. 117-126.
- Caughey, T. K., "Non-Stationary Random Inputs and Responses," *Random Vibration*, Vol. 2, ed., Crandall, S. H., M.I.T. Press, Cambridge, Mass., 1963.
- Hammond, J. K., and Harrison, R. F., "Nonstationary Response of Vehicles on Rough Ground-A State Space Approach," *Transactions of the ASME*, Vol. 103, 1981, pp. 245-250.
- Newland, D. E., *An Introduction to Random Vibrations and Spectral Analysis*, Longman Group, London, 1975.
- Crandall, S. H., and Mark, W. D., *Random Vibration in Mechanical Systems*, M.I.T. Press, Cambridge, Mass., 1963.
- Zadeh, L. A., and Desoer, C. A., *Linear System Theory - The State Space Approach*, McGraw-Hill, 1963.